

ЭФФЕКТ ДИФРАКЦИОННОГО ТРЕНИЯ

*A. Ю. Лавренов**

*Московский государственный университет им. М. В. Ломоносова
119899, Москва, Россия*

Поступила в редакцию 18 сентября 2001 г.

Рассмотрен эффект радиационного трения, возникающего при движении экрана со щелью перпендикулярно световому потоку. Показано, что этот эффект обусловлен дифракцией света; его величина мала, но его учет может быть необходим в прецизионных измерениях, таких как, например, обнаружение гравитационных волн. Проанализирован эффект для разных типов щелей и в разных моделях дифракции.

PACS: 42.25.Fx

1. ВВЕДЕНИЕ

За последние несколько десятилетий произошло заметное развитие теории физических измерений. Разработанные методы позволили исследовать новые физические явления, большей частью основанные на квантовой физике, и ставить ранее недоступные эксперименты, такие, например, как обнаружение гравитационных волн. Для иллюстрации сложности поставленных задач можно привести следующий пример: для регистрации гравитационных волн необходимо зафиксировать смещение одного из зеркал интерферометра на расстояние порядка 10^{-16} см [1]. При большой точности измерений приходится учитывать эффекты, которые ранее могли не рассматриваться из-за своей малости. Одним из таких эффектов стал эффект дифракционного трения, введенный при анализе гейзенберговского микроскопа [2], где он существенно ограничивает чувствительность измерительной схемы. Суть этого эффекта заключается в следующем. Пусть на двигающийся экран с вырезанной дифракционной щелью падает пучок фотонов. В результате дифракции на щели, а также вследствие эффекта Доплера, у фотонов появляется дополнительный импульс, переносимый в направлении движения щели. По закону сохранения импульса, равный по величине, но противоположно направленный импульс передается экрану, что и приводит к трению. Этот эффект близок световому трению Робертсона–Пойнкинга [3, 4]

для астрономических объектов, его наличие является следствием электромагнитной теории Максвелла.

В работе [2] были указаны только основные принципы этого эффекта. Дальнейшие обсуждения показали, что необходимо более строгое его рассмотрение. Настоящая статья посвящена детальному описанию этого эффекта. В разд. 2 приводится вывод основного уравнения для силы дифракционного трения. В разд. 3 проводится исследование эффекта для разных типов щелей, а также в двух моделях дифракции, которые по-разному описывают интенсивность излучения при больших углах дифракции.

2. ОСНОВНОЕ УРАВНЕНИЕ

Выберем лабораторную систему отсчета, неподвижную относительно наблюдателя (величины, относящиеся к ней, отмечены штрихами). В качестве модели возьмем идеальный проводник — плоский и тонкий экран, лежащий в плоскости $z' = 0$, с вырезанной длинной узкой щелью вдоль оси y' , шириной в несколько длин волн падающего света (см. рисунок). В такой постановке задачи дифракционные эффекты не зависят от y' , и нахождение интенсивности сводится к плоской задаче дифракции. Падающий перпендикулярно экрану плоский пучок фотонов зададим частотой ω'_0 . Для регистрации импульса вокруг щели мысленно расположим серию фотодетекторов, измеряющих энергию попадающих на них фотонов. Известно, что импульс и энергия фотонов связаны соотношением: $p = E/c$ (c — скорость

*E-mail: anton@solst.phys.msu.su

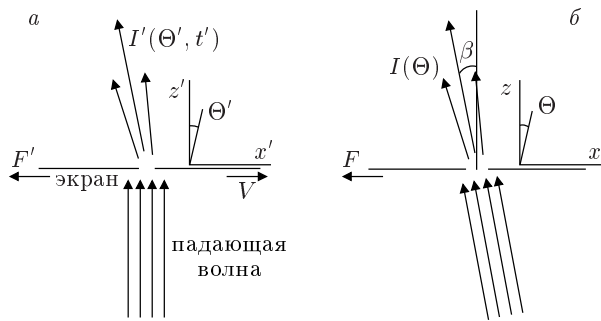


Схема распространения световой волны в лабораторной системе отсчета (a) и в системе отсчета, где щель неподвижна (б)

света). С учетом этого общий импульс, переданный экрану со стороны светового потока, равен

$$dp_x = -\frac{1}{c} \int \sin \Theta dE, \quad (1)$$

где Θ — наименьший угол с нормалью к экрану, а интеграл берется по произвольной поверхности, ограничивающей щель. Энергия светового потока dE , падающего на детектор за промежуток времени dt , в видимом со стороны щели телесном угле $d\Omega$ определяется интенсивностью световой волны, проходящей через щель, $I(\Theta, \omega) = I(\Theta)\delta(\omega - \omega_0)$, с помощью соотношения

$$dE = I(\Theta, \omega)S \cos \Theta dt d\omega d\Omega. \quad (2)$$

Здесь S — площадь щели, $S \cos \Theta$ — видимая площадь щели со стороны детектора. Дальнейший анализ удобно проводить для случая, когда детекторы расположены на большом расстоянии позади щели, так чтобы рассматривать щель как «точечный» источник с заданным угловым распределением интенсивности $I(\Theta)$. В этом приближении световые волны от источников света, расположенных по поверхности щели (как в модели дифракции Гюйгенса-Френеля), до произвольно выбранного детектора распространяются параллельно.

Пусть теперь щель движется со скоростью $V \ll c$. В этом приближении в дальнейших расчетах будут опускаться члены порядка V^2/c^2 . Будем искать действующую на экран силу, пропорциональную V . Это упрощает выкладки: при переходе в другую систему координат не учитываются множители, содержащие $\sqrt{1 - v^2/c^2}$, для преобразований волнового вектора, а также релятивистское изменение ширины щели и детекторов.

В лабораторной системе координат вокруг щели возникает изменяющаяся со временем дифрак-

ционная картина, поэтому удобно перейти в систему отсчета, где щель неподвижна. В этой системе отсчета волна на экран падает под небольшим углом $\beta \approx V/c$; распределение поля будем характеризовать интенсивностью $I(\Theta, \beta)$. Сила, действующая на экран:

$$F_x = \frac{dp_x}{dt} = -K \int I(\Theta, \beta) \cos \Theta (\sin \Theta + \beta) d\Theta. \quad (3)$$

Здесь $K = S\Delta\phi/c$, $\Delta\phi$ — угловой размер детекторов вдоль оси y . Второе слагаемое в скобках под знаком интеграла — это первоначальный импульс фотонов, который передался бы поглощающему сплошному экрану:

$$F_x^{initio} = -\frac{\beta W}{c},$$

где

$$W = K \int I(\Theta, \beta) \cos \Theta d\Theta$$

— мощность продифрагированного света. Фотоны, не участвующие в дифракции, не создают силы трения, поэтому рассматриваемый эффект был назван дифракционным трением. Рассмотрим, что происходит с выражением (3) при переходе в лабораторную систему отсчета.

В лабораторной системе отсчета по разным угловым направлениям изменяется частота (энергия) фотонов в соответствии с эффектом Доплера: $d\omega' = d\omega(1 + \beta \sin \Theta)$. Поэтому действующая на экран сила выражается через угловое распределение интенсивности в системе отсчета, где щель неподвижна, в виде

$$F'_x = -K \int I(\Theta, \beta) (\sin \Theta + \beta + \beta \sin^2 \Theta) \cos \Theta d\Theta. \quad (4)$$

Это выражение включает в себя только силу, созданную прошедшей через щель волной, и его необходимо дополнить силой, создаваемой волной, отраженной от поверхности экрана (рассматривается случай идеального отражения). Согласно [5], если дифракцию анализировать как излучение от краев экрана, то ее интенсивность получается одинаковой в полуплоскостях до и после экрана, поэтому величина трения удваивается:

$$F_x^{full} = 2F'_x.$$

Ниже будет проанализирован коэффициент дифракционного трения (m — масса экрана),

$$\sigma = -\frac{F_x^{full}}{mV} = \frac{W}{mc^2} \delta, \quad (5)$$

через вспомогательный коэффициент δ , зависящий

только от распределения дифракционной картины:

$$\delta = 2 \frac{\int_{-\pi/2}^{\pi/2} \{I(\Theta, \beta)(1 + \sin^2 \Theta) + I'_\beta(\Theta, \beta) \sin \Theta\}_{\beta=0} \cos \Theta d\Theta}{\int_{-\pi/2}^{\pi/2} I(\Theta) \cos \Theta d\Theta}. \quad (6)$$

Так как дифракционное рассеяние волны мало, то для расчета мощности продифрагировавшей волны позади экрана (величина в знаменателе) можно ограничиться небольшими углами дифракции, при этом зависимость от β несущественна.

В следующем разделе вычисляется коэффициент δ для разных типов щелей в двух моделях дифракции.

Поле быстро уменьшается, следовательно, можно ограничиться малыми углами, положив $\sin \Theta \propto \Theta$. Коэффициент

$$\delta \approx \frac{\sqrt{2}}{(k_0 a)^2} \quad (8)$$

пропорционален квадрату дифракционного угла.

Иначе ведет себя щель с резкими границами, где

$$T(x) = \begin{cases} 1, & -a \leq x \leq a, \\ 0, & x < -a, \quad x > a. \end{cases}$$

В этом случае

$$I \propto \frac{\sin^2[k_0 a(\sin \Theta + \beta)]}{(\sin \Theta + \beta)^2}.$$

Для узкой щели, $k_0 a \ll 1$, значение $\delta = 2.7$. Для широкой щели, $k_0 a \gg 1$, численный расчет показал следующую зависимость:

$$\delta = \frac{\xi_F}{k_0 a}, \quad (9)$$

где параметр $\xi_F(k_0 a)$ осциллирует в диапазоне значений от 0.6 до 1.9 с периодом π .

3.2. Дифракция Зоммерфельда

Более точно выражение для распределения интенсивности можно получить, если представить экран состоящим из двух бесконечно тонких клиньев, расположенных друг от друга на расстоянии a . Для одного идеально проводящего клина Зоммерфельдом была точно решена задача дифракции [5]; суперпозиция с решением для второго клина приводит к выражению

$$I \propto \frac{\sin^2[k_0 a(\sin \Theta + \beta)]}{\sin^2[(\Theta + \beta)/2]} + \frac{\cos^2[k_0 a(\sin \Theta + \beta)]}{\cos^2[(\Theta - \beta)/2]}.$$

$$I(\Theta, \beta) \propto \left| \int_{-\infty}^{\infty} T(x) e^{ikx(\sin \Theta + \beta)} dx \right|^2. \quad (7)$$

Она не зависит ни от свойств, ни от толщины материала экрана.

Рассмотрим щель с гауссовым распределением коэффициента пропускания (как в гейзенберговском микроскопе [2]),

$$T(x) = e^{-x^2/2a^2}, \quad I \sim e^{-k_0^2 a^2 (\sin \Theta + \beta)^2}, \quad k_0 = \frac{2\pi}{\omega_0}.$$

Для узкой щели, $k_0a \ll 1$, значение $\delta \approx 2$. Для широкой щели численный расчет привел к выражению, аналогичному для теории Френеля:

$$\delta = \frac{\xi_Z}{k_0a}, \quad (10)$$

где параметр $\xi_Z(k_0a)$ осциллирует в диапазоне значений от 2.1 до 2.2 с периодом π . Расхождение с теорией Френеля довольно значительное. Это говорит о том, что при расчете коэффициента дифракционного трения нельзя ограничиваться приближенными моделями дифракции.

Более точное выражение интенсивности [5] для широкой щели учитывает эффекты взаимной дифракции от краев экрана, но содержит поправки к ξ порядка $(k_0a)^{-1/2}$, что для нашего рассмотрения не является существенным. Для узкой щели при $k_0a \ll 1$ имеем $I \propto \cos^2 \Theta$. В этом случае $\delta = 1.2$.

4. ЗАКЛЮЧЕНИЕ

Для возможного практического применения, а также для численной оценки рассмотрим дифракционную решетку. Совокупную интенсивность от нескольких щелей можно получить, если умножить интенсивность от одной щели (используем более точную теорию Зоммерфельда) на фактор решетки

$$\frac{\sin^2(Nk_0d \sin \Theta)}{\sin^2(k_0d \sin \Theta)},$$

где d — период решетки, N — число щелей. Численный анализ показал, что коэффициент δ для $N \gg 1$ в зависимости от ширины щели a колеблется около значения 2 и практически не зависит от d и N . Минимальное значение $\delta \approx 0.1$ достигается при ширине щели, такой что $k_0a \approx 8.2$, максимальное значение

$\delta \approx 3.1$ — при $k_0a \approx 11.2$. С увеличением k_0a амплитуда колебаний монотонно уменьшается. В результате, в среднем коэффициент дифракционного трения

$$\sigma \approx \frac{2W}{mc^2}$$

составляет величину, которую необходимо учитывать при анализе движения дифракционной решетки в световом потоке в прецизионных измерениях. Для экрана массой $m = 10^{-6}$ г и лазера, создающего дифракционную картину мощностью $W = 1$ Вт, коэффициент дифракционного трения $\sigma \sim 10^{-8} \text{ c}^{-1}$. Из этой оценки следует, что учет эффекта дифракционного трения при движении дифракционной решетки в световом потоке становится существенно необходимым, если длительность прецизионного измерения составляет несколько месяцев и более.

Я благодарю С. П. Вятчанина и К. А. Постнова, без которых данная статья была бы невозможна.

ЛИТЕРАТУРА

1. Л. П. Грищук, В. М. Липунов, К. А. Постнов, М. Е. Прохоров, Б. С. Сатьяпракаш, УФН **171**, 1 (2001).
2. S. P. Vyatchanin and A. Yu. Lavrenov, Phys. Lett. A **238**, 38 (1997).
3. J. H. Poynting, Phil. Trans. Roy. Soc. London A **202**, 525 (1903).
4. H. P. Robertson, Mon. Not. Roy. Astron. Soc. **93**, 423 (1937).
5. Х. Хенл, А. Мауэ, К. Вестпфаль, *Теория дифракции*, Мир, Москва (1964).